

УДК 621.3.013

Г. Г. Гаврилов

РАСПРЕДЕЛЕНИЕ НАПРЯЖЕННОСТИ МАГНИТНОГО ПОЛЯ ВДОЛЬ ОСИ ПРИЗМАТИЧЕСКОГО ПОСТОЯННОГО МАГНИТА

Данный расчет предназначен для высококоэрцитивных постоянных магнитов, у которых вектор намагниченности материала магнита \vec{M} остается неизменным во всем объеме магнита, т. е. $\vec{M} = \text{const}$ и дивергенция вектора намагниченности равна нулю ($\text{div } \vec{M} = 0$). Поэтому для расчета скалярного магнитного потенциала используется упрощенная форма (2).

В данной методике напряженность магнитного поля в любой произвольной точке Р на оси z создается двумя торцевыми противоположно намагниченными плоскостями. Можно сказать, что магнитное поле от намагниченной плоскости $a \times b$ рассчитывается от четырех плоскостей $a_1 \times b_1$, где $a_1 = \frac{a}{2}$, $b_1 = \frac{b}{2}$.

Используя выведенную формулу (5), выводится формула для расчета составляющей напряженности магнитного поля по оси z в любой произвольной точке Р пространства вокруг призматического высококоэрцитивного постоянного магнита (рис. 2). Составляющая напряженности магнитного поля по оси z рассчитывается как результат совместного воздействия четырех плоскостей со сторонами x и y , $\frac{a}{2} - x$ и y , x и $\frac{b}{2} - y$, $\frac{a}{2} - x$ и $\frac{b}{2} - y$ и четырех таких же плоскостей противоположной торцевой поверхности магнита. Таким образом, в формуле (8) получается восемь слагаемых.

Из общей формулы (8) можно получить частную формулу (6) для определения напряженности магнитного поля на оси, если в нее подставить координаты оси (0,0,z). Как видим, действительно формула (9) тождественна ранее выведенной формуле (6), что дополнительно свидетельствует о правильности формулы (8).

Ключевые слова: Магнитное поле, напряженность, постоянный магнит, скалярный магнитный потенциал, вектор намагниченности, составляющая напряженности поля, торцевая плоскость магнита, магнитная индукция, феррит бария, миллитесла-амперметр, датчик Холла, кривая размагничивания, линия внешней нагрузки, проницаемость формы прямоугольной призмы, декартова система координат, середина торцевой плоскости, элемент поверхности, внешняя нормаль, высококоэрцитивный материал.

Экспериментальные замеры индукции с помощью миллитесла-амперметра Ф4351/1 на базе датчика Холла показали хорошую сходимость с расчетными значениями. Сначала рассчитаем напряженность магнитного поля на оси призматического постоянного магнита.

Совместим начало декартовой системы координат с серединой торцевой плоскости призматического магнита (рис. 1).

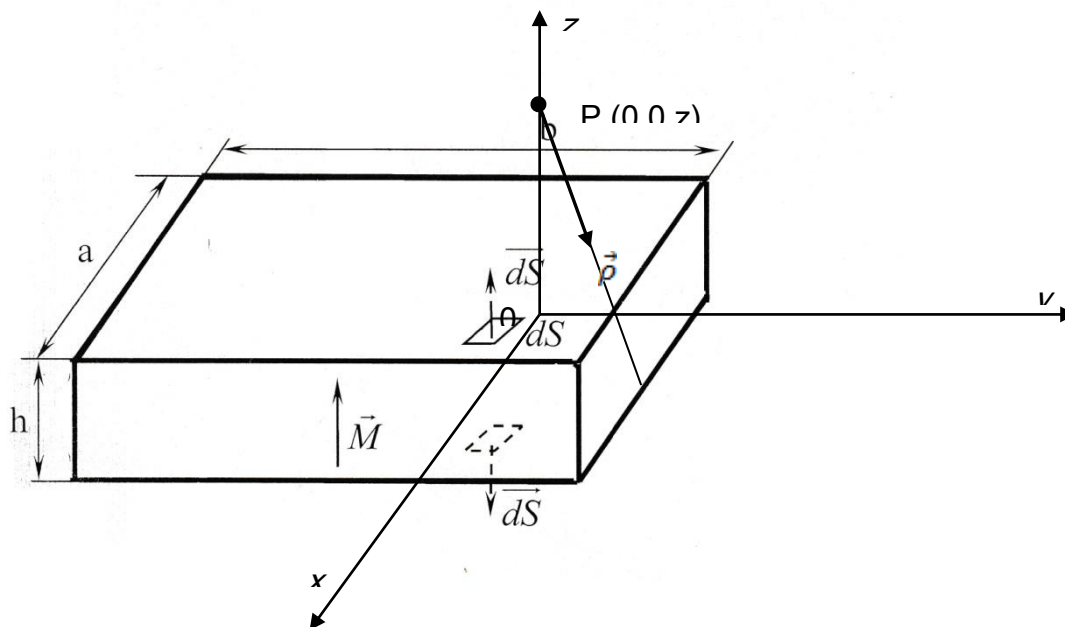


Рис. 1. К расчету магнитного поля на оси магнита

Скалярный магнитный потенциал в общем случае можно рассчитать следующим образом [1]:

$$\varphi_m = \frac{1}{4\pi} \oint_S \frac{\vec{M} \cdot \vec{dS}}{\rho} - \frac{1}{4\pi} \int_V \frac{\text{div} \vec{M}}{\rho} dV, \quad (1)$$

где \vec{M} – вектор намагниченности материала магнита, $\rho = \sqrt{x^2 + y^2 + z^2}$ – расстояние от элемента поверхности dS до текущей точки P на оси z, \vec{dS} – вектор, численно равный элементу поверхности dS и направленный в сторону внешней нормали.

Для магнитов из высококоэрцитивных материалов $\vec{M} = \text{const}$, т. е. $\text{div} \vec{M} = 0$.

Поэтому

$$\varphi_m = \frac{1}{4\pi} \oint_S \frac{\vec{M} \cdot \vec{dS}}{\rho} \quad (2)$$

В данной методике напряженность магнитного поля в любой произвольной точке P на оси z создается двумя торцевыми противоположно намагниченными плоскостями. Отсюда

$$\begin{aligned} \varphi_m &= \frac{1}{4\pi} \oint_S \frac{\vec{M} \cdot \vec{dS}}{\rho} \\ &= \frac{1}{4\pi} \left(\int_{-a/2}^{a/2} \int_{-b/2}^{b/2} \frac{M dx dy}{\sqrt{x^2 + y^2 + z^2}} - \int_{-a/2}^{a/2} \int_{-b/2}^{b/2} \frac{M dx dy}{\sqrt{x^2 + y^2 + (z+h)^2}} \right) = \\ &= \frac{M}{\pi} \left(\int_0^{a/2} \int_0^{b/2} \frac{dx \cdot dy}{\sqrt{x^2 + y^2 + z^2}} - \int_0^{a/2} \int_0^{b/2} \frac{dx \cdot dy}{\sqrt{x^2 + y^2 + (z+h)^2}} \right). \end{aligned} \quad (3)$$

Составляющая напряженности по оси z будет:

$$\begin{aligned} H_z &= -\frac{\partial \varphi_m}{\partial z} \\ &= \frac{M}{\pi} \left(\int_0^{a/2} \int_0^{b/2} \frac{z \cdot dx \cdot dy}{(x^2 + y^2 + z^2)^{3/2}} - \int_0^{a/2} \int_0^{b/2} \frac{(z+h) dx dy}{[x^2 + y^2 + (z+h)^2]^{3/2}} \right). \end{aligned} \quad (4)$$

$$\int_0^{a/2} \int_0^{b/2} \frac{z \cdot dx \cdot dy}{(x^2 + y^2 + z^2)^{3/2}} = \int_0^{a_1} \int_0^{b_1} \frac{z dx dy}{(x^2 + y^2 + z^2)^{3/2}} = \operatorname{arctg} \frac{a_1 b_1}{z \sqrt{a_1^2 + b_1^2 + z^2}} =$$

$$= \operatorname{arctg} \frac{ab}{2z \sqrt{a^2 + b^2 + 4z^2}} \quad (5)$$

где $a_1 = \frac{a}{2}$; $b_1 = \frac{b}{2}$.

Можно сказать, что магнитное поле от намагниченной плоскости $a \times b$ рассчитывается от четырех одинаковых плоскостей $a_1 \times b_1$ и это утверждение учтено в формуле (3).

Учитывая (5) получим:

$$H_z = \frac{M}{\pi} \left(\operatorname{arctg} \frac{ab}{2z\sqrt{a^2 + b^2 + 4z^2}} - \operatorname{arctg} \frac{ab}{2(z+h)\sqrt{a^2 + b^2 + 4(z+h)^2}} \right). \quad (6)$$

Можно также рассчитать составляющую магнитной индукции по оси z :

$$B_z = \frac{\mu_0 M}{\pi} \left(\operatorname{arctg} \frac{ab}{2z\sqrt{a^2 + b^2 + 4z^2}} - \operatorname{arctg} \frac{ab}{2(z+h)\sqrt{a^2 + b^2 + 4(z+h)^2}} \right). \quad (7)$$

Используя предыдущий материал, выведем формулу для расчета составляющей напряженности магнитного поля по оси z в любой произвольной точке P пространства вокруг призматического высококоэрцитивного постоянного магнита. Начало декартовой системы координат опять поместим в середину торцевой плоскости магнита (рис. 2).

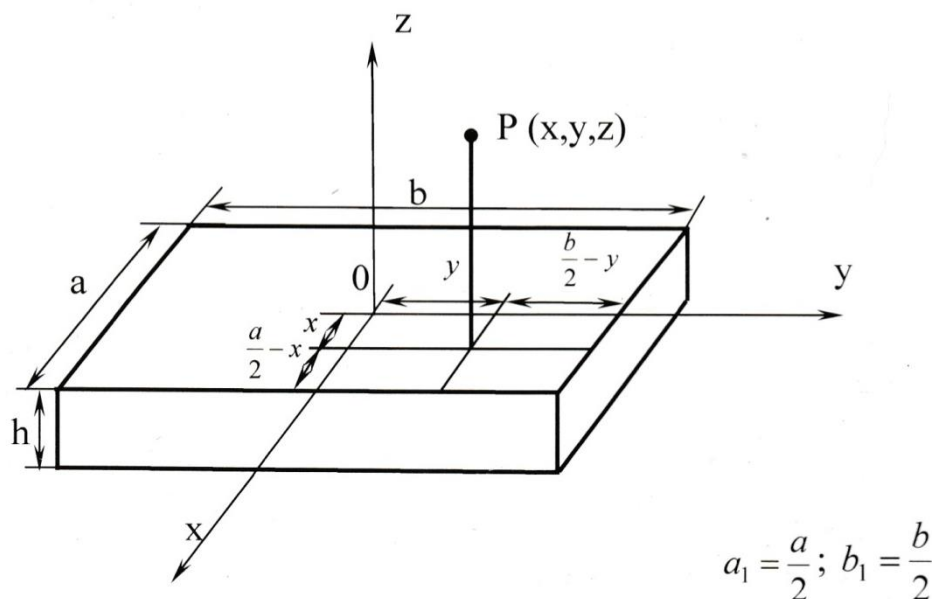


Рис. 2. К расчету напряженности магнитного поля в произвольной точке

Используя выведенную формулу (5), можно рассчитать составляющую напряженности магнитного поля по оси z как результат совместного воздействия четырех плоскостей со сторонами x и y , $\frac{a}{2} - x$ и y , x и $\frac{b}{2} - y$, $\frac{a}{2} - x$ и $\frac{b}{2} - y$ и четырех таких же плоскостей противоположной торцевой поверхности магнита.

Таким образом, в формуле должно быть восемь слагаемых:

$$\begin{aligned}
 H_z = & \frac{M}{\pi} \left(\operatorname{arctg} \frac{xy}{z\sqrt{x^2 + y^2 + z^2}} + \operatorname{arctg} \frac{x(b_1 - y)}{z\sqrt{x^2 + (b_1 - y)^2 + z^2}} + \right. \\
 & + \operatorname{arctg} \frac{(a_1 - x)y}{z\sqrt{(a_1 - x)^2 + y^2 + z^2}} + \operatorname{arctg} \frac{(a_1 - x)(b_1 - y)}{z\sqrt{(a_1 - x)^2 + (b_1 - y)^2 + z^2}} - \\
 & - \operatorname{arctg} \frac{xy}{(z + h)\sqrt{x^2 + y^2 + (z + h)^2}} - \operatorname{arctg} \frac{x(b_1 - y)}{(z + h)\sqrt{x^2 + (b_1 - y)^2 + (z + h)^2}} \\
 & - \\
 & - \operatorname{arctg} \frac{(a_1 - x)y}{(z + h)\sqrt{(a_1 - x)^2 + y^2 + (z + h)^2}} - \\
 & \left. - \operatorname{arctg} \frac{(a_1 - x)(b_1 - y)}{(z + h)\sqrt{(a_1 - x)^2 + (b_1 - y)^2 + (z + h)^2}} \right), \quad (8)
 \end{aligned}$$

где $a_1 = \frac{a}{2}$; $b_1 = \frac{b}{2}$.

Из общей формулы (8) можно получить частную формулу (6) для определения напряженности поля на оси, если в нее подставить координаты оси $(0, 0, z)$. Все слагаемые кроме четвертого и восьмого обращаются в нуль, поэтому

$$\begin{aligned}
 H_z = & \frac{M}{\pi} \left(\operatorname{arctg} \frac{a_1 b_1}{z\sqrt{a_1^2 + b_1^2 + z^2}} - \operatorname{arctg} \frac{a_1 b_1}{(z + h)\sqrt{a_1^2 + b_1^2 + (z + h)^2}} \right) = \\
 = & \frac{M}{\pi} \left(\operatorname{arctg} \frac{ab}{2z\sqrt{a^2 + b^2 + 4z^2}} - \operatorname{arctg} \frac{ab}{2(z + h)\sqrt{a^2 + b^2 + 4(z + h)^2}} \right). \quad (9)
 \end{aligned}$$

Как видим, действительно формула (9) тождественна ранее выведенной формуле (6), что дополнительно свидетельствует о правильности формулы (8).

Для проверки выведенных формул проводились экспериментальные замеры магнитной индукции.

В эксперименте замерялась магнитная индукция, создаваемая постоянным магнитом из феррита бария марки 6БИ240 с намагниченность $M = 124000$ А/м.

Размеры магнита: длина $a = 49$ мм, ширина $b = 25$ мм, высота $h = 15$ мм. Магнитная индукция измерялась с помощью миллитесла – амперметра Ф 4354/1 на базе датчика Холла.

На рис. 3 приведена зависимость составляющей магнитной индукции по оси z $B_z = f(z)$, рассчитанная по формуле (7). На нее же нанесены экспериментальные значения магнитной индукции.

На рис. 4 приведены зависимости $B_z = f(z)$ для различных значений z (0,5 мм; 2 мм; 4 мм; 6 мм; 8 мм; 10 мм). Координата y при этом равна нулю, т. е. перемещения датчика Холла производилось вдоль оси x .

На рис. 5 приведены зависимости $B_z = f(y)$ для различных значений z (0,5 мм; 2 мм; 4 мм; 6 мм; 8 мм; 10 мм). Координата x при этом равна нулю, т. е. перемещения датчика Холла производилось вдоль оси y .

Класс используемого прибора не позволил выявить существенных расхождений между расчетными и экспериментальными значениями. Расчет производился на ЭВМ для различных значений x , y , z . Производилась распечатка исходных данных, значений координат и соответствующих им значений напряженности и индукции магнитного поля.

Значение намагниченности магнита M определялось по точке пересечения кривой размагничивания материала 6БИ240 и линии внешней нагрузки магнита. Наклон линии определялся по проницаемости формы прямоугольной призмы [2].



Рис. 3. Замеры индукции на оси магнита

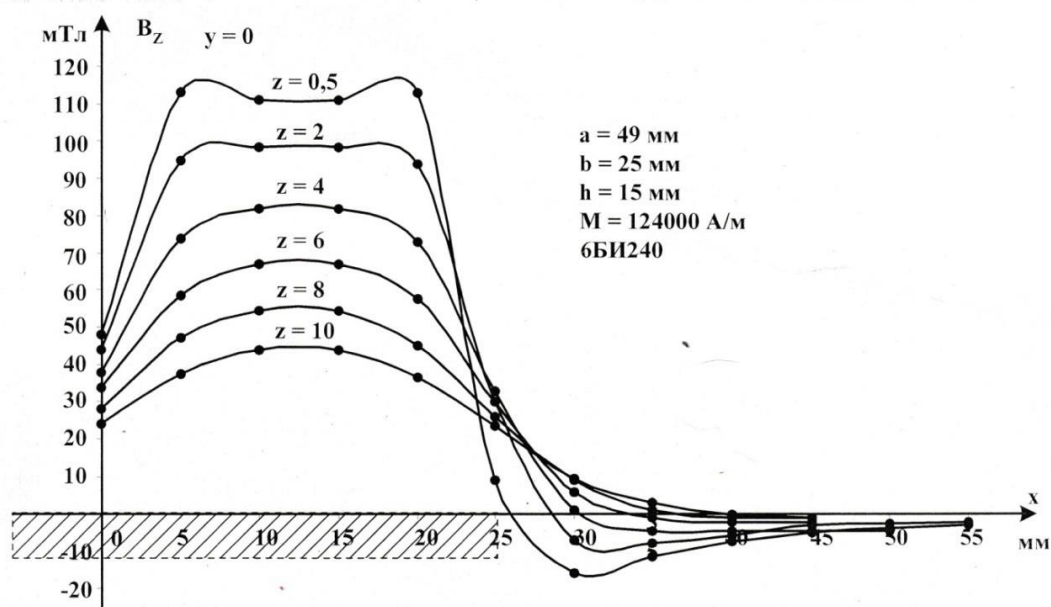


Рис. 4. Замеры индукции вдоль оси x при различных значениях z

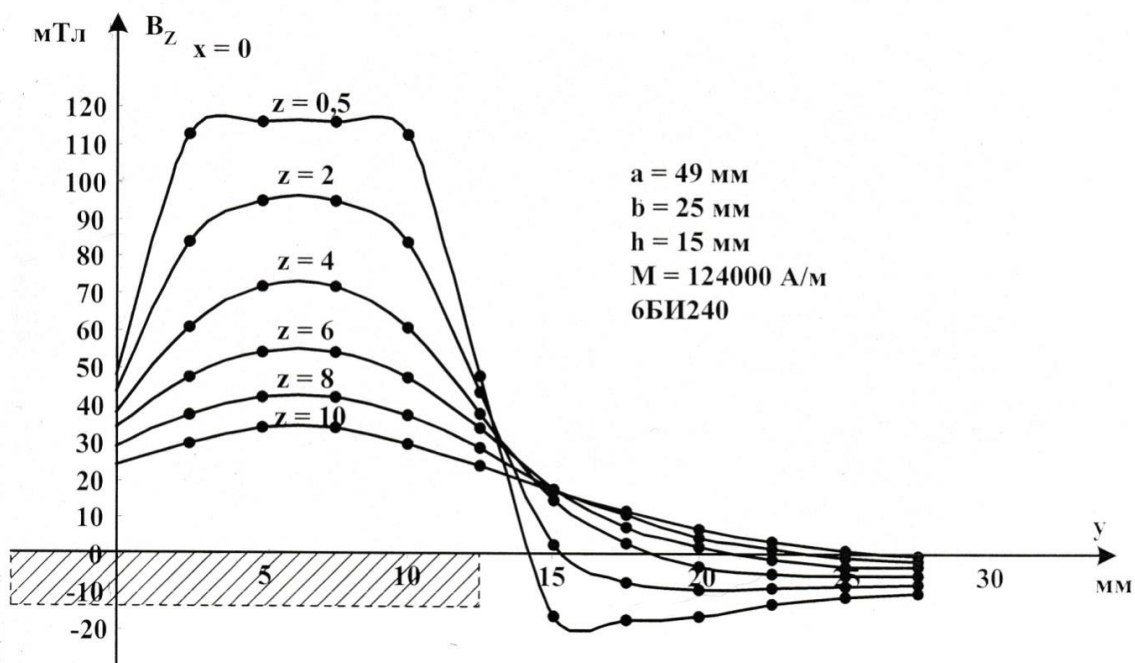


Рис. 5. Замеры индукции вдоль оси y при различных значениях z

Список литературы

1. Шимони К. Теоретическая электротехника. М.: Мир, 1964.
2. Левченко С. И. и др. Проницаемость формы прямоугольных призм // Электронная техника. 1970. Вып. 2(24). С. 54–59.

ГАВРИЛОВ Геннадий Георгиевич – кандидат технических наук, доцент, доцент кафедры электротехники и электроники, Вятский государственный университет. 610000, г. Киров, ул. Московская, 36.

E-mail: gavrilov_1937@mail.ru